

Animação de fumaça em malhas não-estruturadas usando RBF-FD

Gabriel Lucas da Silva

Orientador: Prof. Dr. Afonso Paiva Neto

Instituto de Ciências Matemáticas e de Computação
Universidade de São Paulo

5 de dezembro de 2025

Roteiro

- 1 Introdução
- 2 Motivação e Objetivos
- 3 Fundamentos Teóricos
- 4 Metodologia
- 5 Tratamento de Fronteiras
- 6 Resultados
- 7 Discussão
- 8 Conclusões e Contribuições
- 9 Trabalhos Futuros

Introdução

Importância

- Indústria
 - Entretenimento
 - Jogos
 - Engenharia
- Academia

Introdução

Simulações baseadas em física tendem a apresentar resultados visualmente realísticos



© 2012 Electronic Arts Inc. EA and EA logo are trademarks of Electronic Arts Inc.
BioWare, BioWare logo and Mass Effect are trademarks of EA BioWare Inc.
All other trademarks are the property of their respective owners.
MASS EFFECT 3 DIGIC PICTURES

Figura: Animação de fumaça no jogo Mass Effect 3

Motivação

Limitações das grades regulares

- Restritas a domínios AABB simples
- Dificuldade para representar fronteiras complexas
- Perda de detalhes em geometrias irregulares

Malhas não-estruturadas

- Adaptam-se a fronteiras complexas
- Maior flexibilidade geométrica
- Desafio: métodos numéricos tradicionais (FD, FV)

Objetivos

Objetivo Principal

Desenvolver uma técnica de animação de fumaça 2D em malhas triangulares não-estruturadas utilizando RBF-FD

Objetivos Específicos

- Adaptar pipeline Stable Fluids para malhas arbitrárias
- Implementar tratamento de fronteiras com nós fantasma
- Desenvolver algoritmo eficiente de interseção raio-polígono
- Validar método em domínios com geometrias complexas

Equações de Navier-Stokes

Equações que regem o escoamento de fluidos

$$\dot{\mathbf{u}} = -(\mathbf{u} \cdot \nabla) \mathbf{u} - \frac{1}{\rho} \nabla p + \nu \nabla^2 \mathbf{u} + \mathbf{g} \quad (1)$$

$$\nabla \cdot \mathbf{u} = 0 \quad (2)$$

- $-(\mathbf{u} \cdot \nabla) \mathbf{u}$: Termo de advecção
- $-\frac{1}{\rho} \nabla p$: Gradiente de pressão
- $\nu \nabla^2 \mathbf{u}$: Termo de difusão
- \mathbf{g} : Forças externas

Diferenças Finitas vs RBF-FD

Diferenças Finitas (FD)

- Baseado na série de Taylor
- Funciona apenas em grades regulares
- Estêncil fixo e estruturado

RBF-FD

- Generalização de FD para malhas arbitrárias
- Interpolação livre de malha (meshfree)
- Estêncil adaptativo baseado em vizinhança

Função de Base Radial (RBF)

$$\Phi_k(\mathbf{x}) = \phi(||\mathbf{x} - \mathbf{x}_k||)$$

Spline poliharmônica: $\phi(r) = r^s$, com $s = 1, 3, 5, \dots$

Aproximação de operador diferencial

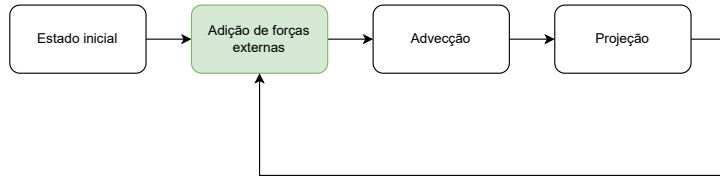
Para aproximar $\mathcal{L}y$ no ponto x_i :

$$\mathcal{L}y \approx \sum_{k=1}^N \omega_k^{\mathcal{L}} y_k$$

Pesos ω calculados resolvendo sistema linear local

Três passos principais

- **Passo 1:** Aplicação de forças externas
- **Passo 2:** Advecção semi-lagrangiana
- **Passo 3:** Projeção de Helmholtz-Hodge



Passo 1: Aplicação de Forças Externas

Atualização do campo de velocidades

$$\mathbf{u}_{novo} = \mathbf{u}_{antigo} + \Delta t \cdot \mathbf{f}$$

onde \mathbf{f} representa forças externas

Forças típicas em simulação de fumaça

- **Gravidade:** $\mathbf{f}_g = -g\hat{\mathbf{j}}$ (aponta para baixo)
- **Empuxo térmico** (buoyancy): força que faz fumaça quente subir

$$\mathbf{f}_{empuxo} = \alpha(T - T_{amb})\hat{\mathbf{j}}$$

onde α é coeficiente de empuxo, T é temperatura local

Resultado

Integração explícita (método de Euler)

Advecção Semi-Lagrangiana

Equação de advecção

Termo de transporte: $\frac{\partial q}{\partial t} + (\mathbf{u} \cdot \nabla)q = 0$

onde q pode ser: velocidade, densidade de fumaça, temperatura...

Solução Semi-Lagrangiana

Seguir partícula ao longo da trajetória (característica):

$$q(\mathbf{x}, t + \Delta t) = q(\mathbf{x} - \mathbf{u}(\mathbf{x}, t)\Delta t, t)$$

Algoritmo:

- ① Backtrack: $\mathbf{x}_{prev} = \mathbf{x} - \mathbf{u}(\mathbf{x}, t)\Delta t$
- ② Interpolar q em \mathbf{x}_{prev} (RBF ou baricêntrica)
- ③ Atribuir valor interpolado a \mathbf{x}

Advecção - Desafio em Malhas Arbitrârias

Problema

x_{prev} pode cair:

- Dentro de outra célula
- Fora do domínio

Solução

- Interseção raio-polígono
- Ray-casting otimizado (JIT)
- Interpolação RBF

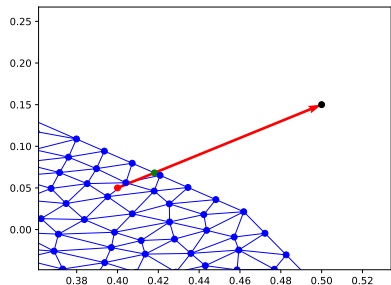


Figura: Raio de backtracking interceptando fronteira

Projeção de Pressão

Problema

Após advecção: \mathbf{w} (campo com divergente) $\rightarrow \nabla \cdot \mathbf{w} \neq 0$

Queremos: \mathbf{u} (campo incompressível) $\rightarrow \nabla \cdot \mathbf{u} = 0$

Decomposição de Helmholtz-Hodge

Todo campo pode ser decomposto em parte livre de divergente + gradiente:

$$\mathbf{w} = \mathbf{u} + \nabla p$$

Aplicando divergente e usando $\nabla \cdot \mathbf{u} = 0$:

$$\nabla^2 p = \nabla \cdot \mathbf{w}$$

Campo incompressível final:

$$\mathbf{u} = \mathbf{w} - \nabla p$$

Problema: Estêncils Assimétricos

Desafio

- Nós de fronteira têm vizinhos apenas em um semiplano
- Estêncil desequilibrado
- Perda de precisão

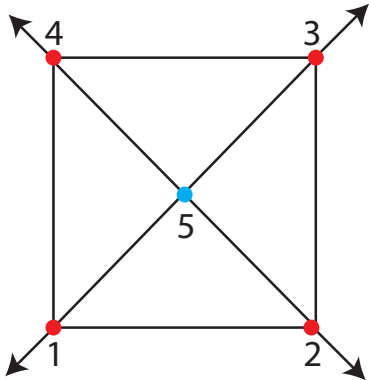


Figura: Malha com nós de fronteira

Solução: Nós Fantasma

Ideia Central

- Criar nó temporário fora do domínio
- Balancear estêncil de fronteira
- Eliminar dependência através da condição de Neumann

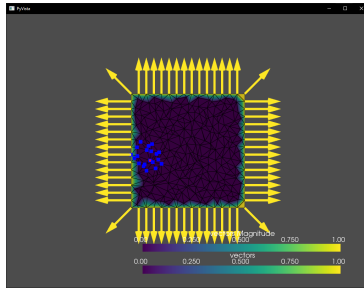


Figura: Nô fantasma (ilustração conceitual)

Nós Fantasma: Formulação

Criação do nó fantasma

$$\mathbf{x}_g = \mathbf{x}_b + h\mathbf{n}$$

onde \mathbf{n} é a normal à fronteira e $h = \alpha \cdot \Delta x_{local}$

Condição de Neumann

$$\nabla p \cdot \mathbf{n} = 0 \quad \Rightarrow \quad \sum_j \omega_j^n p_j + \omega_g^n p_g = 0$$

Eliminação do nó fantasma

$$p_g = -\frac{1}{\omega_g^n} \sum_j \omega_j^n p_j$$

Pesos Efetivos do Laplaciano

Substituindo p_g na aproximação do Laplaciano

$$\begin{aligned}\nabla^2 p &\approx \sum_j \omega_j^L p_j + \omega_g^L p_g \\&= \sum_j \omega_j^L p_j + \omega_g^L \left(-\frac{1}{\omega_g^n} \sum_j \omega_j^n p_j \right) \\&= \sum_j \left(\omega_j^L - \frac{\omega_g^L}{\omega_g^n} \omega_j^n \right) p_j\end{aligned}$$

Pesos efetivos

$$\tilde{\omega}_j^L = \omega_j^L - \frac{\omega_g^L}{\omega_g^n} \omega_j^n$$

Interseção Raio-Polígono

Algoritmo

- Cohen-Sutherland
- Equação paramétrica
- Otimização JIT (Numba)
- Vetorização

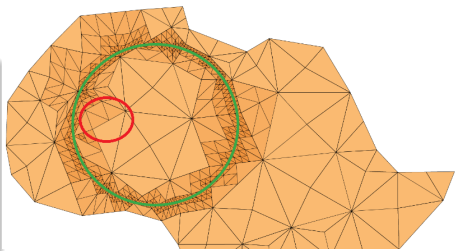


Figura: Exemplo de malha arbitrária

Experimento 1: Validação Ghost Nodes

Objetivo

Comparar método com e sem nós fantasma

- Domínio: AABB simples
- Métrica: Divergente do campo de velocidades
- Resultado: Redução significativa do divergente na fronteira

Experimento 2: Geometria Irregular

Objetivo

Testar capacidade em fronteiras complexas

- Domínio: Polígono irregular
- Formação de vórtices
- Comportamento físico qualitativamente correto

Experimento 3: Domínio Complexo

Objetivo

Validar em geometrias geográficas reais

- Domínio: Contorno geográfico (país)
- Fronteiras altamente irregulares
- Demonstração de viabilidade do método

Análise do Divergente

Observações

- Divergente inicialmente alto (injeção de fumaça)
- Queda após desligamento do injetor
- Aumento gradual ao longo do tempo
- Concentração em regiões de fronteira

Interpretação

- Ghost nodes melhoram estabilidade
- Desafios em regiões de alta curvatura
- Sensibilidade à proximidade entre nós

Discussão dos Resultados

Sucessos

- Comportamento físico qualitativamente correto
- Formação de estruturas vorticais
- Interação adequada com fronteiras
- Viabilidade em domínios arbitrários

Desafios Identificados

- Perda gradual de massa
- Instabilidades em regiões de alta curvatura
- Sensibilidade à proximidade de nós
- Dependência da função de base radial

Conclusões

Principais Contribuições

- Adaptação do Stable Fluids com RBF-FD para malhas triangulares
- Técnica simplificada de nós fantasma para fronteiras
- Algoritmo eficiente de ray-casting com JIT
- Demonstração de viabilidade em domínios arbitrários

Publicação

- CNMAC 2023 - Bonito, MS
- "Animação de fumaça em malhas não-estruturadas usando RBF-FD"

Extensões Imediatas

- Extensão para 3D (malhas tetraedrais)
- Melhoria na conservação de massa
- Exploração de outras funções de base radial

Desenvolvimentos Avançados

- Domínios não-simplesmente conexos (com buracos)
- Otimizações de desempenho (paralelização, GPU)
- Refinamento adaptativo
- Interatividade em tempo real

Agradecimentos

- Prof. Dr. Afonso Paiva Neto (orientação)
- CAPES (bolsa PROEX)
- Colegas do laboratório
- Família e amigos

Obrigado!

Perguntas?